

Novel Rendering Method Without NN

3D Gaussian Splatting for Real-Time Radiance Field Rendering(SIGGRAPH 2023)



Sogang University

Vision & Display Systems Lab, Dept. of Electronic Engineering



Presented By

염수웅

Outline

- Introduction
 - Neural rendering methods
 - Spherical Harmonics
 - 3D Gaussian
 - Dataset
- Main Methods
 - Differentiable 3D Gaussian Splatting
 - Optimization With Adaptive Density Control Of 3D Gaussians
 - Fast Differentiable Rasterizer For Gaussians
- Result
- Conclusion

Introduction

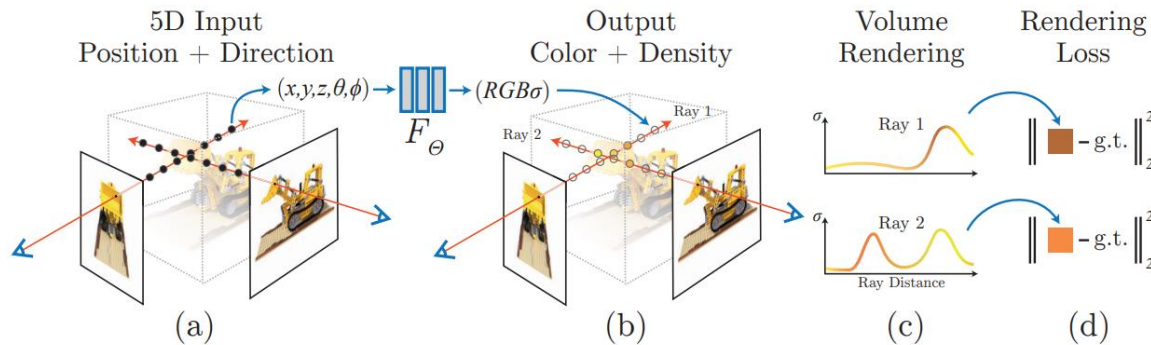
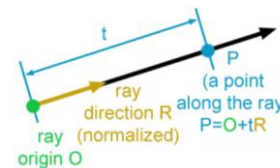
- Neural rendering methods(using implicit MLP representation)

- 대표 모델

- NeRF[ECCV 20]

- ※ 카메라 파라미터를 이용하여 3차원 공간으로 방사되는 **ray 계산**
 - ※ Stratified sampling 을 통해 ray 위의 coordinate를 추출 후 coarse MLP 에 임베딩
 - ※ Coarse MLP 의 density 가 큰 영역에서 추가 sampling 진행
 - ※ 추가로 sampling 된 coordinate 를 fine MLP에 임베딩하여 density 와 color 출력
 - ※ Volume rendering 을 통해 최종 픽셀 값 렌더링

$$\text{Ray } r(t) = o + td$$



NeRF model architecture

Introduction

- Neural rendering methods(using implicit MLP representation)

- 대표 모델

- Mip-NeRF[ICCV 21] & Mip-NeRF360[CVPR 22]

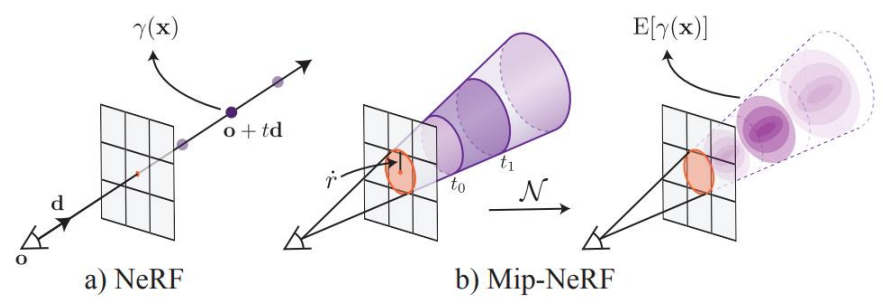
- ※ NeRF 에서 발생하는 aliasing 문제를 해결한 Mip-NeRF

- ✓ Cone tracing 기법과 Integrated Positional Encoding(IPE) 을 적용하여 문제 해결

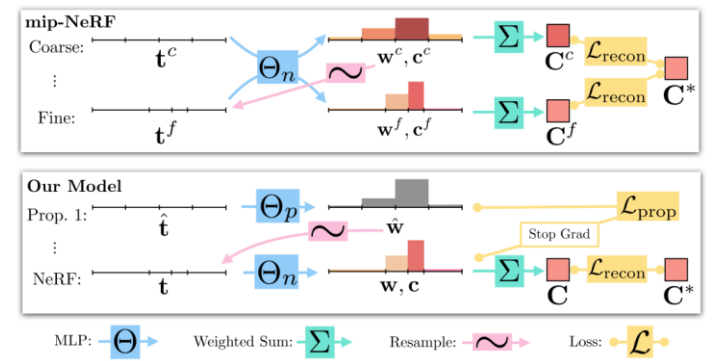
- ※ Unbounded Scene 및 360도 scene 에서 렌더링 품질을 향상한 Mip-NeRF360

- ✓ Unbounded Scene에 normalized 기법을 통해 Mip-NeRF 성능 개선

- ✓ Coarse network 대신 density만 출력하는 proposal network 사용



NeRF vs Mip-NeRF



Mip-NeRF vs Mip-NeRF360

Introduction

- Neural rendering methods(using explicit voxel representation)

- 대표 모델

- NSVF[NeurIPS 20]

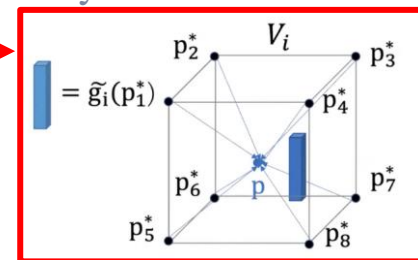
- ※ 카메라 파라미터를 이용하여 각 픽셀에서 방사되는 ray 계산

- ※ 3차원 공간을 voxel grid 로 표현후 ray 와 교차되는 voxel 탐색

- ※ Ray marching 을 통해 voxel 내부의 point sampling 후 color 와 density 계산

$$g_i(p) = \zeta(\chi(\tilde{g}_i(p_1^*), \dots, \tilde{g}_i(p_8^*)))$$

- $p_1^* \sim p_8^* \in \mathbb{R}^3$: eight vertices
- $\tilde{g}_i(p_1^*), \dots, \tilde{g}_i(p_8^*) \in \mathbb{R}^d$: feature vector stored at each vertex
- $\chi(\cdot)$: trilinear interpolation
- $\zeta(\cdot)$: positional encoding



Transparency

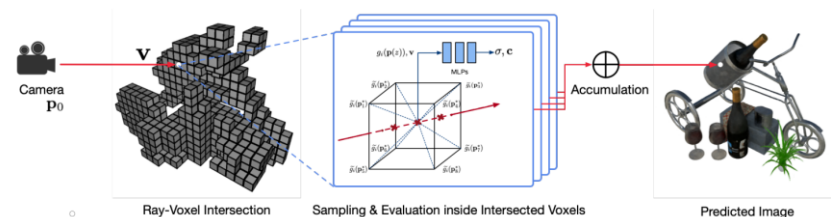
$$A(p_0, v) = \prod_{i=1}^N \alpha(z_i, \Delta_i)$$

$$\alpha(z_i, \Delta_i) = \exp(-\sigma(p(z_i)) \cdot \Delta_i)$$

$$\Delta_i = z_{i+1} - z_i$$

- ※ Transparency 값 확인 후 thresholding

- ✓ Ray marching 종료



NSVF model architecture

Introduction

- Neural rendering methods(using explicit voxel representation)

- 대표 모델

- PlenOctree[ICCV 21]

- ※ NSVF 와 동일하게 voxel grid로 공간을 표현하며 spherical harmonics 사용

- ✓ Spherical harmonics를 통해 color 값 연산량 축소

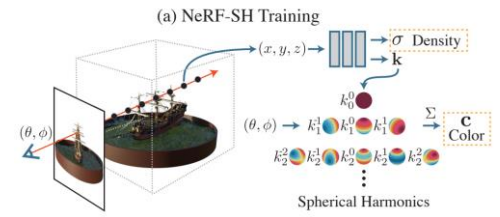
- ✓ Octree 구조를 통해 샘플링 연산량 축소

- Plenoxels[CVPR 22]

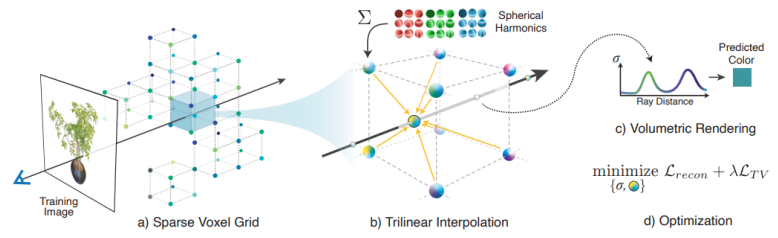
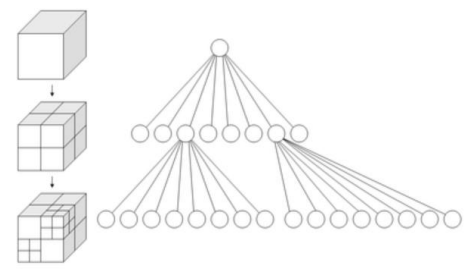
- ※ NN 사용하지 않고 voxel grid 표현만을 이용하여 렌더링

- ✓ Voxel 의 vertex 에 spherical harmonics coefficient 저장

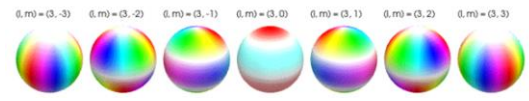
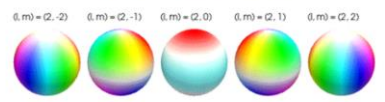
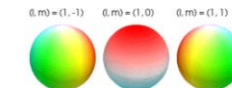
- ✓ Voxel 의 vertex 에 density 에 대한 feature 저장



Spherical harmonics 활용



Plenoxels model architecture



Introduction

• Spherical Harmonics

▪ Spherical harmonics 란?

- 구면 좌표계에서 각도를 입력 받고 해당하는 구면의 위치에서 값을 출력하는 함수

※ 구면좌표계에서 정의된 함수로, **공간의 복잡한 형태나 패턴을 표현**할 수 있는 방법을 제공

✓ 특정한 수학적 성질을 가지고 있어, 빛의 분포나 반사와 같은 물리적 현상을 모델링하는데 효과적

- 라플라스 방정식을 이용하여 spherical harmonics의 일반적인 형태 표현 가능

$$Y_l^m(\theta, \phi) = \sqrt{\frac{(2l+1)(l-|m|)!}{4\pi(l+|m|)!}} P_l^{|m|}(\cos\theta) e^{im\phi}$$

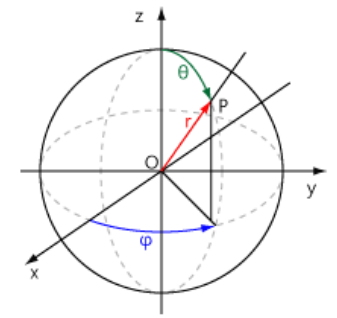
✓ 라플라스 방정식의 해를 **구면 좌표계**에서 나타낸 형태

✓ l : 차수(order), m : 모드(degree)

✓ l 이 같은 함수들을 묶어서 band라고 부름

$$C = \sum_{l=0}^{l_{max}} \sum_{m=-l}^l k_l^m Y_l^m(\theta, \phi)$$

✓ 뉴럴 렌더링 모델에서 색상을 표현하기 위한 표현

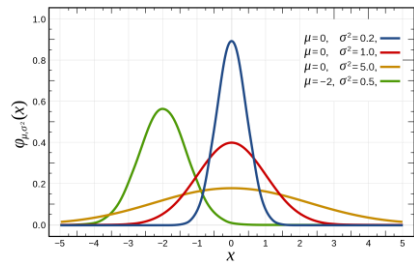


Introduction

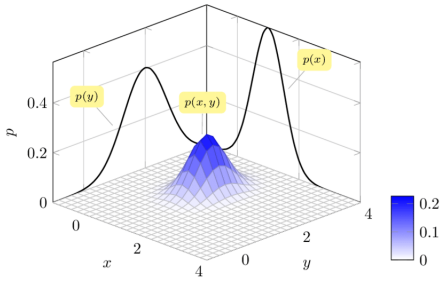
- 3D Gaussian

- 1D Gaussian Distribution

$$-N(x|\mu, \sigma^2) = \frac{1}{(2\pi\sigma^2)^{1/2}} \exp\left\{-\frac{1}{2\sigma^2}(x - \mu)^2\right\}$$



1D Gaussian

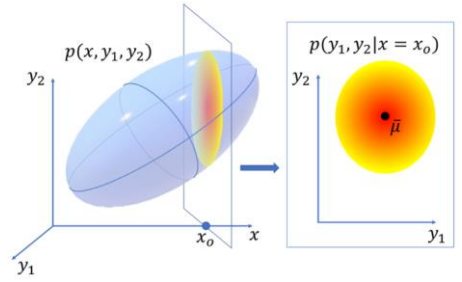


2D Gaussian

- Multivariate Gaussian Distribution

$$-N(X|\mu, \Sigma) = \frac{1}{(2\pi)^{D/2}} \frac{1}{|\Sigma|^{1/2}} \exp\left\{-\frac{1}{2}(X - \mu)^T \Sigma^{-1}(X - \mu)\right\}$$

☼ Σ : covariance matrix



3D Gaussian

- Ellipsoid 형태를 유지하는 Gaussian

-Gaussian distribution 에 대한 PDF의 contour 는 ellipsoid 를 보임

$$\Delta^2 = (X - \mu)^T \Sigma^{-1} (X - \mu)$$

$$\Sigma \cdot u_i = \lambda_i u_i \quad u_i^T u_j = I_{ij}$$

$$\Sigma = \sum_{i=1}^D \lambda_i u_i u_i^T \quad \Sigma^{-1} = \sum_{i=1}^D \frac{1}{\lambda_i} u_i u_i^T$$

$$\Delta^2 = \sum_{i=1}^D \frac{y_i^2}{\lambda_i}, \quad y_i = u_i^T (X - \mu)$$

Gaussian Contour

Ellipsoid formulation

Introduction

- Dataset

- 3D Gaussian Splatting 모델 학습을 위한 데이터 구성

- Multi view images, 3D point cloud, calibrated camera parameter



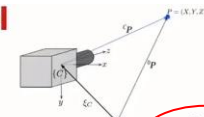
Multi view images



3D point cloud

Complete camera model

$$\begin{pmatrix} \tilde{x} \\ \tilde{y} \\ \tilde{z} \end{pmatrix} = \begin{pmatrix} f & 0 & 0 & 0 \\ 0 & f & 0 & 0 \\ 0 & 0 & 1 & 0 \end{pmatrix} \begin{pmatrix} X \\ Y \\ Z \\ 1 \end{pmatrix}$$



$$\begin{pmatrix} \tilde{u} \\ \tilde{v} \\ \tilde{w} \end{pmatrix} = \underbrace{\begin{pmatrix} \frac{1}{\rho_w} & 0 & u_0 \\ 0 & \frac{1}{\rho_v} & v_0 \\ 0 & 0 & 1 \end{pmatrix}}_{\text{intrinsic parameters}} \underbrace{\begin{pmatrix} f & 0 & 0 & 0 \\ 0 & f & 0 & 0 \\ 0 & 0 & 1 & 0 \end{pmatrix} \begin{pmatrix} \mathbf{R} & \mathbf{t} \\ \mathbf{0}_{1 \times 3} & 1 \end{pmatrix}^{-1}}_{\text{camera matrix}} \begin{pmatrix} X \\ Y \\ Z \\ 1 \end{pmatrix}$$

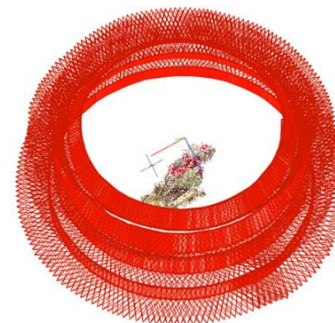
extrinsic parameters
intrinsic parameters
camera matrix

Calibrated camera parameter

- 3D point cloud 와 calibrated camera parameter

- ※ SfM 기반 프로그램을 통해 획득

- ✓ 대표적으로 COLMAP 존재



COLMAP Result

Main Method

- Differentiable 3D Gaussian Splatting

- SfM 알고리즘을 통해 획득한 sparse point cloud 와 카메라 파라미터를 활용

- 뉴럴 렌더링 모델과 동일하게 카메라 파라미터를 활용

- ※ 3D Gaussian을 2D 이미지 평면으로 투영하기 위함

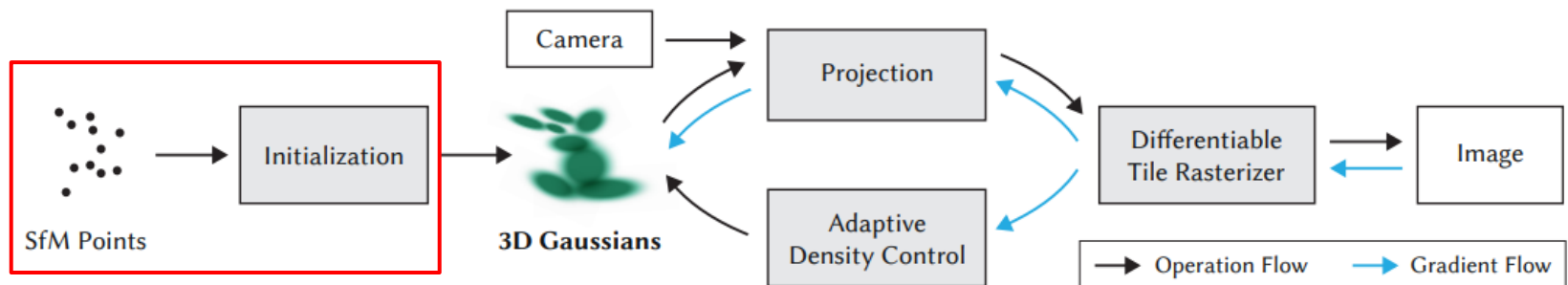
- 뉴럴 렌더링 모델과 다르게 sparse point cloud 를 학습에 활용

- ※ NeRF, NSVF 와 같은 뉴럴 렌더링 모델에서는 3D point cloud를 사용하지 않음

- ✓ 뉴럴 렌더링 모델은 3차원 공간상에 수많은 coordinate 및 voxel을 사용하기 때문

- 3D point cloud를 학습되는 매개변수로 사용할 경우 novel view synthesis 의미가 사라짐

- ✓ 활용하는 경우도 있지만 위치 및 기하학적 정보를 활용하는 보조 수단에 불과



3D Gaussian model architecture

Main Method

- Differentiable 3D Gaussian Splatting

- 3D Gaussian modeling

- 3D Gaussian 을 이용하여 3차원 체적을 모델링

- ※ Point cloud 의 coordinate 를 평균 μ 으로 하며 world space 에 정의된 3D covariance

$$\sqrt{G(x)} = e^{-\frac{1}{2}(x)^T \Sigma^{-1}(x)}$$

- 2D 이미지로 투영하는 3D Gaussian

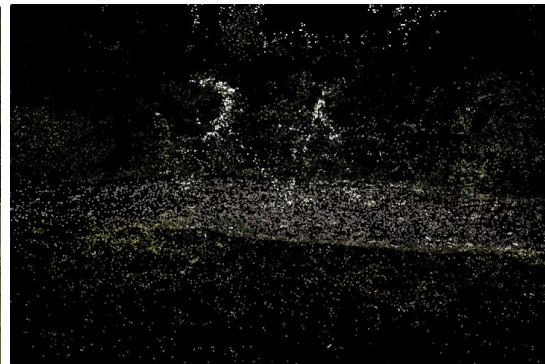
- ※ 투영된 2D Gaussian의 covariance matrix

$$\sqrt{\Sigma'} = JW\Sigma W^T J^T$$

- J : projective transformation 에 대한 affine 근사 값의 jacobian

World 좌표계에서 카메라 좌표계로의 변환 matrix

카메라 좌표계에서 이미지 좌표계로의 변환 matrix



Main Method

- Differentiable 3D Gaussian Splatting

- Covariance matrix modeling

- 3D Gaussian 을 명확하게 얻기 위해 covariance matrix 를 직접 최적화하는것이 바람직함

- ※ Covariance matrix 는 positive semi-definite 일 때만 유의미한 물리적 의미를 가짐

- ※ Gradient descent 기반의 방법을 사용할 경우, covariance 가 유의미한 의미를 가지게 하도록 제약을 주기 어려움

- ✓ Eigenvalue 가 음수가 되지 않도록 제약하는 것은 수학적으로 복잡한 과정 필요

- Covariance matrix 가 positive semi-definite 가 되도록 기울기 업데이트가 쉽지 않음

➔ covariance matrix 를 직접 최적화 하는데는 한계점 존재

- 3D Gaussian이 ellipsoid 형태를 가지도록 covariance matrix를 재구성

- ※ Scaling 과 Rotation 행렬 성분으로 분해 ➔ Anisotropic covariance

- ※ Covariance matrix 는 positive semi definite 일 때 ellipsoid 형태를 가짐

- ※ Covariance matrix 를 ellipsoid 형태가 되도록 모델링함으로써 positive semi definite 하게 최적화가 가능

- ✓ covariance matrix 가 물리적으로 유의미한 의미를 가지게 되어짐

분산을 의미하는
대각성분이 음수가 되지
않기 때문!

Main Methods

- Optimization With Adaptive Density Control Of 3D Gaussians

- Optimization

- 최적화하고자하는 3D Gaussian 파라미터

- ※ Point cloud 위치 p , anisotropic covariance Σ , Opacity α , spherical harmonic coefficients

- 최적화 기법

- ※ Stochastic Gradient Descent 기반의 Adam optimizer 사용

- ※ 일부 작업에 대해 CUDA 커널을 추가하여 GPU 작동을 가속

- ✓ CUDA 프로그래밍을 통하여 GPU에서 실행되는 연산 가속화 및 메모리 효율화

- 손실함수

- ※ $\mathcal{L} = (1 - \lambda)\mathcal{L}_1 + \lambda\mathcal{L}_{D-SSIM}$

$$\checkmark SSIM(x, y) = \frac{(2\mu_x\mu_y + C_1)(2\sigma_{xy} + C_2)}{(\mu_x^2 + \mu_y^2 + C_1)(\sigma_x^2 + \sigma_y^2 + C_2)}$$

$$\checkmark DSSIM(x, y) = \frac{1 - SSIM(x, y)}{2}$$

Main Methods

- Optimization With Adaptive Density Control Of 3D Gaussians

- Adaptive control of Gaussians

- Scene 에 맞게 3D Gaussian 들을 adaptive 하게 변형

- ※ 매개변수들은 iteration 마다 update 하고 3D Gaussian 은 100 iteration 마다 update

- ✓ 3D Gaussian 을 100iteration 마다 제거, 분할, 복제 수행

- ✓ 초기의 sparse한 Gaussian 분포 세트에서 장면을 더 잘 표현하는 밀집된 세트로 구성이 가능함과 동시에 더 정확한 매개변수 획득 가능

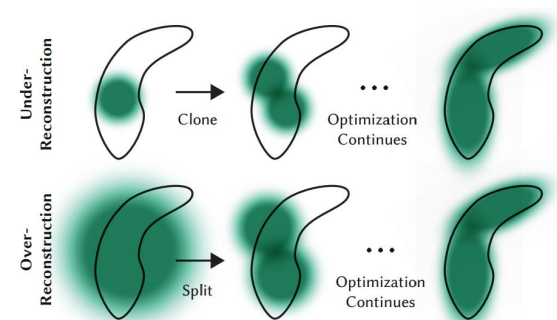
- ※ Opacity α 가 threshold ϵ_α 보다 낮은 3D Gaussian 은 제거

- ✓ 제거 후 geometric feature 가 누락된 영역은 under-reconstruction 수행

- ✓ 넓은 영역을 차지하는 Gaussian 분포가 존재하는 영역은 over-reconstruction 수행

- ✓ 두 상황 모두 view-space position gradient가 큼

- 장면의 3차원 공간상에서 위치 변화가 큼을 의미



Reconstruction method



Main Methods

- Optimization With Adaptive Density Control Of 3D Gaussians

- Adaptive control of Gaussians

-Reconstruction → 두 경우 모두 position gradient 가 크기 때문에,
position gradient 에 threshold를 정해서
reconstruction 수행

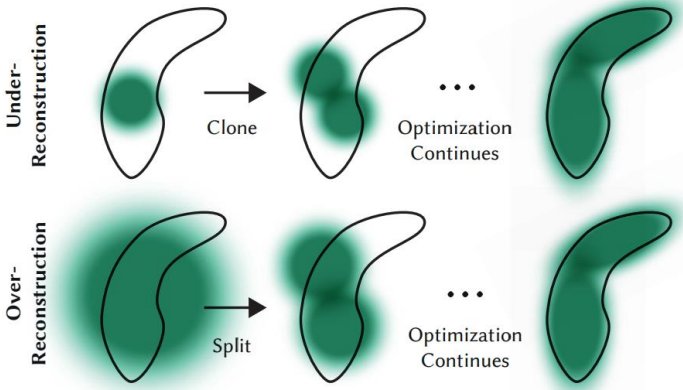
- ※ Under reconstruction

- ✓ 작은 크기의 3D Gaussian 들을 같은 크기로 복제
- 복제된 3D Gaussian들을 position gradient 방향으로 배치

- ※ Over reconstruction

- ✓ 큰 크기의 3D Gaussian 들을 작은 크기로 분해
- 분리된 3D Gaussian의 위치는 초기 Gaussian 의 확률밀도값에 따라 배치

Scale 을 thresholding 하여
reconstruction 종류 결정



Reconstruction method

Main Methods

- Fast Differentiable Rasterizer For Gaussians

- NeRF 의 volume rendering 과 동일한 역할 수행

- Rasterization 은 rendering 에 포함되는 개념

- ※ Rendering 과정 중 하나의 단계로 볼 수 있는 rasterization

- ※ Rendering 과 rasterization 모두 3D 공간을 통해 2D 이미지를 생성하는 기법

- Rendering 이 아닌 rasterization 을 사용한 이유

- Point 를 샘플링할 필요 없이 3D Gaussian 이 어떤 픽셀로 떨어지는지만 알면 되기 때문

- Rasterization

- 3D Gaussian 을 2D Gaussian 으로 투영

- 이미지를 16x16 pixel 의 tile들로 분할

- ※ 이미지의 전체 픽셀을 기준으로 할 경우 너무 많은 Gaussian 을 담게 되어짐

- 각각의 tile 에 해당하는 Gaussian 을 분류

- ※ Gaussian 이 여러 tile 에 overlap 되어지기 때문

- 각 tile 에 있는 Gaussian 들을 GPU Radix sort 를 통해 카메라 direction 방향으로 sorting

Gaussian 이 속해있는 tile 과 depth 정보

GPU를 활용하여 빠르게 sorting 하는 방법

Main Methods

- Fast Differentiable Rasterizer For Gaussians

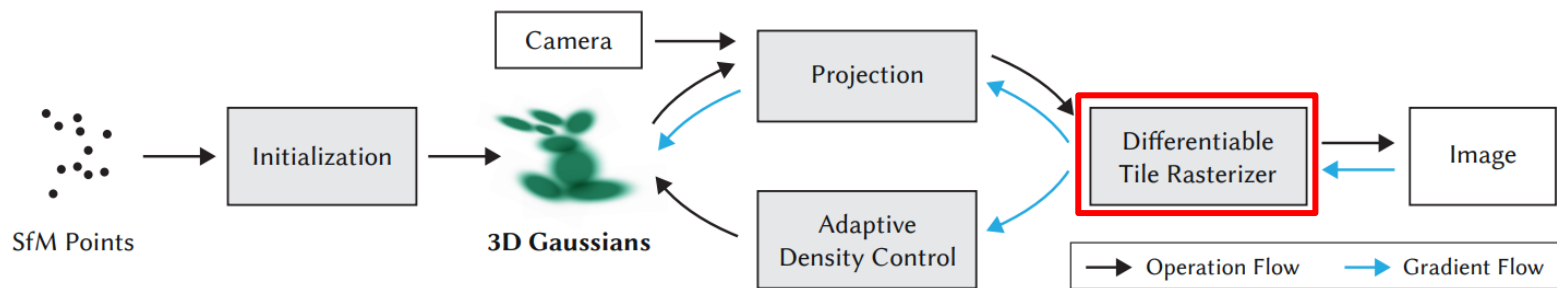
- Rasterization

- 타일 내부의 픽셀에 대해 sorting 된 gaussian의 depth 와 tile 정보를 활용

- ※ Depth 를 따라 순차적으로 opacity(α) 와 color 값을 accumulate

- ✓ $C = \sum_{i \in \mathcal{X}} c_i \alpha_i \prod_{j=1}^{i-1} (1 - \alpha_j) \longrightarrow \text{Alpha-blending}$

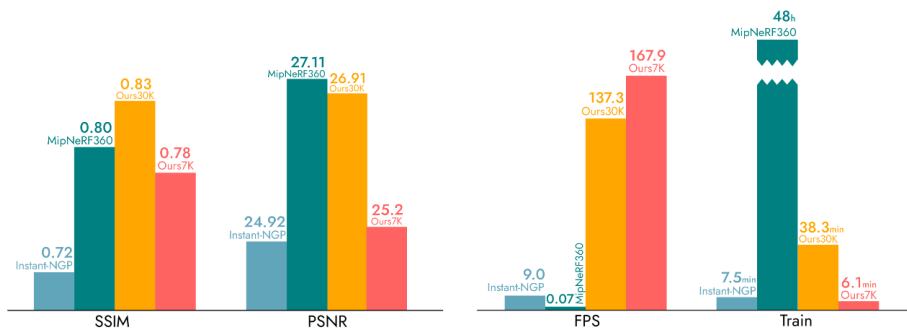
- ✓ Color 값(c_i)은 추정된 매개변수인 coefficient 와 spherical harmonic 을 곱하여 획득



3D Gaussian model architecture

Result

- 이미지 품질 및 추론/학습 시간



- 학습 및 추론 속도가 압도적으로 빠름을 확인 가능

- Instant-NGP → 기존 추론/학습 시간 SOTA 모델

- 성능은 SOTA 가 아니지만 빠른 추론/학습 시간에서 SOTA에 가까운 성능 달성

- MipNeRF360 → 기존 렌더링 성능 SOTA 모델

- Point cloud 초기값 없이 학습 할 경우

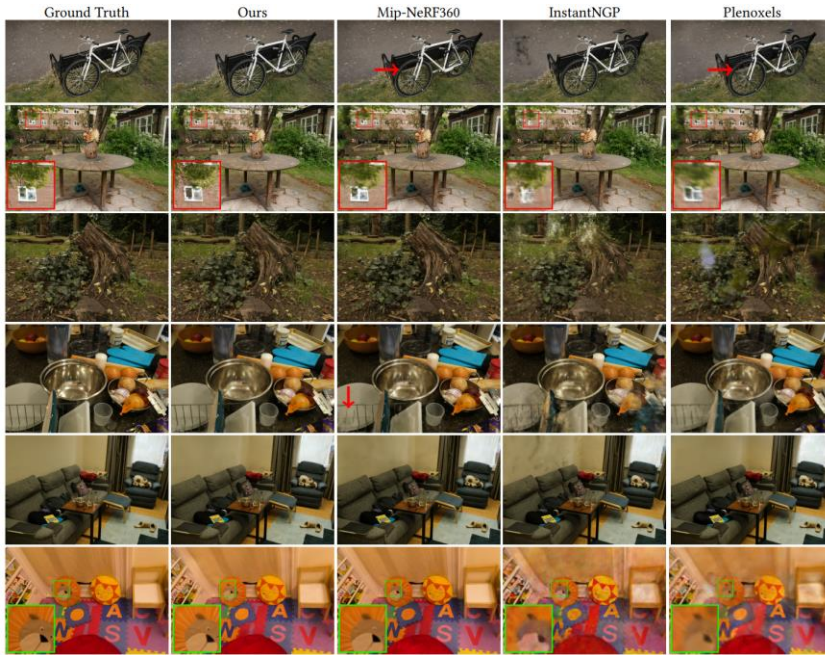
| | Mic | Chair | Ship | Materials | Lego | Drums | Ficus | Hotdog | Avg. |
|------------|-------|-------|-------|-----------|-------|-------|-------|--------|-------|
| Plenoxels | 33.26 | 33.98 | 29.62 | 29.14 | 34.10 | 25.35 | 31.83 | 36.81 | 31.76 |
| INGP-Base | 36.22 | 35.00 | 31.10 | 29.78 | 36.39 | 26.02 | 33.51 | 37.40 | 33.18 |
| Mip-NeRF | 36.51 | 35.14 | 30.41 | 30.71 | 35.70 | 25.48 | 33.29 | 37.48 | 33.09 |
| Point-NeRF | 35.95 | 35.40 | 30.97 | 29.61 | 35.04 | 26.06 | 36.13 | 37.30 | 33.30 |
| Ours-30K | 35.36 | 35.83 | 30.80 | 30.00 | 35.78 | 26.15 | 34.87 | 37.72 | 33.32 |

→ Point cloud 없이도
준수한 성능을 보임

Result

- 정성 & 정량 결과

- 성능 측면과 학습/추론 속도 관점에서 대부분의 데이터에서 SOTA 달성



| Dataset Method\Metric | Mip-NeRF360 | | | | | | Tanks&Temples | | | | | | Deep Blending | | | | | |
|--------------------------|--------------------|--------------------|--------------------|--------|------|-------|-------------------|-------------------|--------------------|--------|------|-------|-------------------|-------------------|--------------------|--------|------|-------|
| | SSIM [↑] | PSNR [↑] | LPIPS [↓] | Train | FPS | Mem | SSIM [↑] | PSNR [↑] | LPIPS [↓] | Train | FPS | Mem | SSIM [↑] | PSNR [↑] | LPIPS [↓] | Train | FPS | Mem |
| Plenoxels | 0.626 | 23.08 | 0.463 | 25m49s | 6.79 | 2.1GB | 0.719 | 21.08 | 0.379 | 25m5s | 13.0 | 2.3GB | 0.795 | 23.06 | 0.510 | 27m49s | 11.2 | 2.7GB |
| INGP-Base | 0.671 | 25.30 | 0.371 | 5m37s | 11.7 | 13MB | 0.723 | 21.72 | 0.330 | 5m26s | 17.1 | 13MB | 0.797 | 23.62 | 0.423 | 6m31s | 3.26 | 13MB |
| INGP-Big | 0.699 | 25.59 | 0.331 | 7m30s | 9.43 | 48MB | 0.745 | 21.92 | 0.305 | 6m59s | 14.4 | 48MB | 0.817 | 24.96 | 0.390 | 8m | 2.79 | 48MB |
| M-NeRF360 | 0.792 [†] | 27.69 [†] | 0.237 [†] | 48h | 0.06 | 8.6MB | 0.759 | 22.22 | 0.257 | 48h | 0.14 | 8.6MB | 0.901 | 29.40 | 0.245 | 48h | 0.09 | 8.6MB |
| Ours-7K | 0.770 | 25.60 | 0.279 | 6m25s | 160 | 523MB | 0.767 | 21.20 | 0.280 | 6m55s | 197 | 270MB | 0.875 | 27.78 | 0.317 | 4m35s | 172 | 386MB |
| Ours-30K | 0.815 | 27.21 | 0.214 | 41m33s | 134 | 734MB | 0.841 | 23.14 | 0.183 | 26m54s | 154 | 411MB | 0.903 | 29.41 | 0.243 | 36m2s | 137 | 676MB |

Conclusion

- Conclusion

- 3D Gaussian 을 통한 3차원 radiance fields 모델링

- Point cloud 활용한 3D Gaussian 을 통해 기존 샘플링 기반 뉴럴 렌더링과 다르게 모델링
 - 뉴럴 네트워크를 사용하지 않고 모델 구성

- Adaptive control 을 통해 3차원 공간을 효과적으로 표현

- Under-Reconstruction 을 통해 3차원 상의 빈 공간이 없도록 학습 진행
 - Over-Reconstruction 을 통해 불필요하게 퍼져있는 공간을 보정

- 뉴럴 렌더링에서 사용하는 volume rendering 대신 rasterization 사용

- 빠른 연산을 가능하게 하여 실시간 렌더링 가능

- Limitation

- Point cloud 가 준비되어 있지 않으면 기존 뉴럴 렌더링 방법보다 성능이 낮음

- SfM을 통해 sparse point cloud를 생성하는 시간까지 고려하면 매우 긴 시간이 소요됨

- 잘 계산되어있는 카메라 파라미터가 필수적

- 동적 객체가 포함된 장면은 point cloud 생성이 어렵기 때문에 적용하기 어려움

감사합니다